

## 고무가류물의 경도 및 인장 특성에 대한 통계적 모델링

조만식<sup>†</sup>·이재우·정창복<sup>\*</sup>·고진환

\*전남대학교 공업화학과, 금호 기술연구소

(1995년 7월 6일 접수)

## Statistical Modeling for Hardness and Tensile Properties of the Rubber Vulcanizates

Mansik Cho<sup>†</sup>, Jae-Woo Lee, Chang-Bok Chung\*, and Jin-Hwan Go

\*Department of Chemical Technology, Chonnam National University, Kwangju 500-757, Korea

Research & Development Center, Kumho & Co., Inc. Kwangju 506-040, Korea

(Received July 6, 1995)

**요약 :** 타이어용 고무 가류물의 인장 및 경도 물성을 영향 인자로 선정하여, 각 인자의 변화에 따른 물성 변화에 대해 통계적 기법을 이용한 예측 시스템을 구축하였다. 58개의 순수한 인자와 6개의 반응 변수(경도, 인장 강도, 50%-modulus, 100%-modulus, 200%-modulus, 300%-모듈러스)에 대해 SAS 소프트웨어를 이용하여 상관 및 회귀 분석을 수행하였다. 시뮬레이션 시스템은 고무 가류물 설계에 있어서 제조 및 시험을 실시하기 전에 미리 조성비에 따른 물성을 예측해 볼 수 있도록 조건 결과예측, 특성치의 일정범위 내에서의 트랜드분석(trend analysis) 그리고 결과 분석을 GUI방식을 이용하여 구축하였다.

**Abstract :** Hardness and tensile properties were selected as effective factors for the rubber vulcanizates in a tire. Simulation system was built for physical properties as the change of each factors by using statistical methods. Correlation and regression analyses were performed by using SAS software for 58 actual factors and 6 variables of response; hardness, tensile strength, 50%-modulus, 100%-modulus, 200%-modulus, and 300 %-modulus. Simulation system is composed of 'Forecasting results', 'Trend analysis,' and 'Result analysis' with graphic user interface (GUI) in order to predict physical properties according to rubber vulcanizates' design before manufacturing and testing them.

**Keywords :** tensile and hardress properties, modeling, simulation system.

### 서 론

자동차의 성능에 크게 영향을 미치는 타이어의 내구력, 제동력 그리고 승차감 등은 타이어를 구성하는 고무층, 특히 트래드의 물성의 변화에 의해 좌우된다. 요구 물성에 맞는 고무 배합물을 만드는 배합 설계의 가장 큰 어려움은 고분자 물질인 고무의 점탄성 특성으로서, 배합 조성비와 가류 조건에

따라 고무 가류물의 물성이 매우 다양한 변화를 보인다. 실제 생산 현장에서 고무 배합물을 설계시 배합물의 요구 물성을 얻기 위해서 수회에 걸친 시행착오 방법에 의존하고 있기 때문에 배합 공정의 일시 정지에 따른 생산량 감소가 초래될 뿐만 아니라 배합물의 요구 물성을 안정적으로 유지하기도 어렵게 된다.

본 연구에서는 품질 및 생산성 향상에 영향을 미

치는 재료 인자(폴리머, 보강제, 공정 조제, 가류제 등) 그리고 공정 인자(가류 온도 및 가류시간)에 따른 고무의 점탄성 특성, 특히 인장 특성 및 경도에 대해 실험실 시험을 실시하고 그 결과를 이용하여 통계적 처리를 함으로써 그 상관성을 규명하기 위한 기초 자료를 마련하는데 주목적을 두고 있다. 이런 재료 인자 및 공정 인자를 이용하여 고무 조성물의 물성, 젖은 노면의 스키드저항 (skid resistance), 마모 저항과 원재료(폴리머와 카본 블랙)간의 상관관계를 분석하여 좋은 결과를 얻었으며,<sup>1</sup> 완제품 성능 상관성을 반제품의 물성과 관련하여 모델링에 대한 연구가 활발하다.<sup>2</sup> 특히 타이어의 회전 저항과 견인력과 관련된 탄델타, 경도, 반발 특성 등과 같은 물성에 대한 많은 연구를 하고 있다. 이와 같은 모델링을 통해 모델식을 구한 예를 기초로 하여 본 연구에서는 인장 시험기와 경도계를 이용하여 측정한 인장 강도, 모듈러스 및 고무 경도의 결과를 이용하여 2차 다중 회귀 모델링을 하였다. 또한, 시뮬레이션 시스템을 개발하여 조건 결과의 예측, 특성치의 트랜드 분석 및 결과 분석을 수치화와 그래프화하여 시각화함으로서 고무 재료의 배합 사양(recipe)의 변화에 따라 물성을 예측할 수 있는 시스템을 구축하였다.

고무 산업에 있어서 통계적 방법의 도구로 상용 소프트웨어인 SAS를 이용한 내용으로, Evans<sup>3</sup>는 실리카의 종류와 첨가량의 변화에 따른 물성의 영향, Okei<sup>4</sup>은 실리카와 클레이(clay)의 첨가량에 따른 고무물성 변화를 예측할 수 있는 모델식을 구한 예가 있다. 그러나, 이들의 연구는 전체 원재료에 대하여 포괄적인 모델식을 적용하지 못한 단점이 있었다.

본 연구 결과는 고무 가류물의 물성을 사전에 예측할 수 있도록 하는 고무 재료 설계의 중요한 자료로서 활용할 수 있으며, 타이어 품질 및 생산성 향상에 기여할 수 있을 것으로 기대된다.

## 실험

인장 시험은 타이어를 구성하는 고무가 타이어

주행시 갖는 운동 메커니즘을 모사하기 위한 실험 실적 방법이다. 고분자 재료의 기계적 강도를 판정하는 시험법의 하나로서 시편에 일정한 인장 속도로 인장 하중을 가하여 파단시에 이르기까지 응력과 변형과의 관계를 규명하는 시험이다. 가류고무의 인장 강도는 시험중 시편의 단면적에 대하여 시편에 걸리는 최대 하중으로 표현한다. 모듈러스는 시편의 단면적에 대한 정해진 신장을 50, 100, 200, 300%로 인장시 시편에 걸리는 하중으로 표현하며 이를 아래 식으로 표현하였다.<sup>5</sup>

폴리머, 보강제, 공정조제 및 가류제를 정해진 가류온도와 시간에 따라 고무가류물을 제조하였다. 실험에 사용하는 시편은 아령형 3호로 ASTM D419-92의 표준에 따라 시험하였다.

$$T.S. = \frac{F_{\max}}{A_0} \quad (1)$$

$$M_i = \frac{F_i}{A_0} \quad (2)$$

$T.S.$  = 인장강도

$F_{\max}$  = 시편의 최대하중

$M_i$  = 특정 신장을에서의 모듈러스

$F_i$  = 특정 신장을에서의 하중

$A_0$  = 시편의 단면적

고무의 경도는 타이어의 마모 및 승차감에 밀접한 관계가 있으며 이를 정량화한 값으로 물리적 의미는 아직 명확하지는 않다. 경도의 측정은 일정 조건하에서 침상 indentor를 재료 표면에 눌렀을 때의 만입 깊이를 dial gauge로 측정한다.<sup>6</sup> 인장 시험 전의 시편을 이용하여 ASTM D2240-91의 시험 표준에 따라 실험하였다.

인장 강도 및 모듈러스는 텐손메터 (Tensometer Model 6021, Instron Inc.)를 사용하여 구하고, 경도는 Shore A Type 경도계를 사용하여 측정하였다.

## 결과 및 고찰

**통계적 모델링.** 인장 물성 예측 모델링에 사용된 통계 소프트웨어는 IBM사의 A/S (application system)와 SAS Institute Inc.의 SAS software를 이용하였다. 모델링 과정에서 A/S는 호스트환경의 소프트웨어이지만 많은 양의 데이터를 처리할 경우 시스템의 부하로 인해 분석을 수행할 수 없어서 다중 선형 회귀 분석을 하였으며, 다중 비선형 회귀 분석은 workatation환경의 UNIX SAS를 이용하여 수행하였다.

데이터 확보는 호스트 데이터 베이스의 배합 사양과 인장 및 경도 시험 결과에서 취하였다. 얻은 데이터를 재료의 투입량, 재료의 특성 및 가류 조건으로 분류하기 위해 데이터를 변환하였다. 이 데이터 셋 (data set)을 통계적 처리하여 모델링 후 최종적으로 도출된 모델식을 SAS를 이용하여 예측 시스템을 구축하였다.

**샘플링 :** 데이터 샘플링을 위해 실험 관리 데이터 베이스의 배합 사양과 실험 조건 및 물성 결과를 데이터 파일로 만들었으며, 이의 물성 실험 결과는 경도, 인장 강도, 50%-, 100%-, 200%-, 300%-모듈러스를 종속변수로 하여 총 3700여건의 데이터를 얻었다.

만들어진 조건 및 결과 데이터 파일에서 관측치 (observation)가 50개 이하인 원재료와 시험 평가를 위한 시험용 재료는 실험 결과에 영향 인자로서 고려하기 어려우므로 삭제하였다.

본 연구에서 이용된 배합 사양은 폴리머의 경우 천연고무, 스타이렌 부타디엔 고무 그리고 부타디엔류 고무를 17종류 선정하였다. 보강제는 10종류를 선정하였는데, 보강제들을 대표할 수 있는 특성치로 요오드가 ( $I_2$ ), 디비피흡수가 (DBP), 틴트가 (tint)를 보강제의 특성치로 대체하여 독립변수로 적용하였다. 그 외에 화학 첨가제 및 가류제를 변수로 하여 58개의 변수를 선택하였으며, 또한 가류조건인 가류 온도와 가류시간이 독립변수로 침가되었다. 독립변수로 사용되는 재료 인자 및 공정

**Table 1.** The Independent Variables of Materials and Process Factors

Variable	Material name	Variable	Material name
C1	Natural Rubber(a)	C4	SBR(f)
C1	Natural Rubber(b)	C40	Peptizer(a)
C1	Natural Rubber(c)	C41	Peptizer(a)
C1	Natural Rubber(d)	C42	Reinforcing Agent(a)
C10	EPDM Rubber	C42	Reinforcing Agent(b)
C11	SBR(a)	C42	Reinforcing Agent(c)
C12	SBR(b)	C42	Reinforcing Agent(d)
C13	SBR(c)	C42	Reinforcing Agent(e)
C14	Bromobutyl Rubber	C42	Reinforcing Agent(f)
C15	Neoprene Rubber	C42	Reinforcing Agent(g)
C16	BR	C42	Reinforcing Agent(h)
C17	Butyl Rubber	C42	Reinforcing Agent(i)
C18	Accelerator(a)	C42	Reinforcing Agent(j)
C19	Accelerator(b)	C42	Reinforcing Agent(k)
C2	SBR(d)	C43	Tackifier(a)
C20	Accelerator(c)	C44	Tackifier(b)
C21	Accelerator(d)	C45	Tackifier(c)
C22	Accelerator(e)	C46	Tackifier(d)
C23	Accelerator(f)	C47	Softener(a)
C24	Bonding Agent(a)	C48	Softener(b)
C25	Bonding Agent(b)	C49	Vulcanizer(a)
C26	Bonding Agent(c)	C5	SBR(g)
C27	Bonding Agent(d)	C50	Vulcanizer(b)
C28	Dusting Agent(a)	C51	Vulcanizer(c)
C29	Dusting Agent(b)	C52	Vulcanizer(d)
C3	SBR(e)	C53	Vulcanizer(e)
C30	Dusting Agent(c)	C54	Vulcanizing Temp.
C31	Dusting Agent(d)	C55	Vulcanizing Time
C32	Activator(a)	C56	Iodine Value
C33	Activator(b)	C57	DBP Value
C33	Activator(c)	C58	Tint Value
C34	Retarder	C6	SBR(h)
C35	Antidegradent(a)	C7	SBR(i)
C36	Antidegradent(b)	C8	SBR(j)
C37	Antidegradent(c)	C9	SBR(k)
C38	Antidegradent(d)		
C39	Wax		

인자는 Table 1에 수록하였다. 원재료중 화학적 성질이 거의 같아 물성에 미치는 영향이 동일하면 동일 영향 인자로 고려하여 하나의 변수로 대체하였다.

**다중 선형 회귀 분석 (Multi-Linear Regression) :** 데이터 샘플링에서 선정된 독립변수 (원재료 투입량, 보강제의 특성 인자, 가류조건)와 종속변수

(경도, 인장 강도, 50%-, 100%-, 200%-, 300%-모듈러스)를 선정하여 이를 변수간에 아래식과 같은 다중 선형 회귀 분석을 하였다.<sup>7</sup>

$$Y = \beta_0 + \sum_{i=1}^{58} (\beta_i X_i) + \varepsilon \quad (3)$$

$Y$  : 종속 변수

$\beta_0, \beta_i$  : Regression Coefficients

$X_i$  : 독립 변수

$\varepsilon$  : error term

종속변수가 여려개 존재하므로 회귀 분석 방식 중 다중 결정 계수 ( $R^2$ )를 증가시킬 수 있는 방법으로 적합한 회귀 모델을 찾는 Stepwise 방법<sup>7</sup>을 이용하여 변수를 추가 또는 삭제하여 각 종속변수별 다중 회귀 모델을 만들었다. 도출된 회귀 모델의 유의성을 검증하기 위해 실측치와 예측치간의 잔차의 정규성을 검증하였다. 관측치의 제거수를 최소화하기 위해 잔차의 표준편차가  $\pm 3\sigma$  한계를 넘는 데이터 (outlier)는 제거하고 다시 적정 회귀 모델을 찾기 위해 반복 시행하였다. 이런 반복 분석을 통해 Fig. 1에서와 같이 반복 횟수가 증가함에 따라 조정된 다중 결정 계수 (adjusted  $R^2$ )는 증가함을 볼 수 있으며, Fig. 2에서는 회귀 모델의 표준편차는 감소하는 추세를 보였다. 이는 회귀 모델

의 설명력, 즉 원재료 투입량, 보강제의 특성 인자, 가류조건으로 인장 특성을 예측할 수 있음을 보여 준다.

회귀 모델의 정규성 및 타당성 유무를 알아보기 위해 회귀 모델의 왜도 (skewness) 및 첨도 (kurtosis)를 구하였다.<sup>8</sup> 왜도는 분포의 대칭 정도를 측정하는 추정량이며, 본 연구에서의 왜도는 Fig. 3에서와 같이 0으로 수렴함으로써 모델이 정규분포를 따르고 있음을 알 수 있고, 분포의 편평한 정도 또는 뾰족한 정도를 표현하는 첨도는 Fig. 4에서와 같이 3으로 수렴함을 볼 수 있다. 이와 같은 추정량을 통해 회귀 모델은 정규성을 갖고 있음을 알

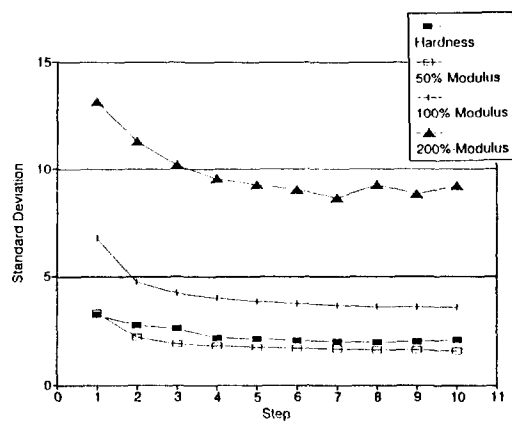


Fig. 2. Change of standard deviation by modeling step for the hardness and modulus.

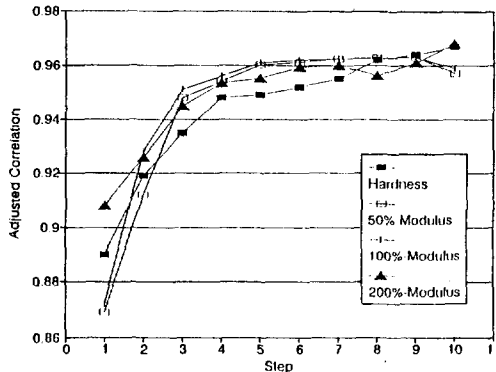


Fig. 1. Change of adjusted correlation by modeling step for the hardness and modulus.

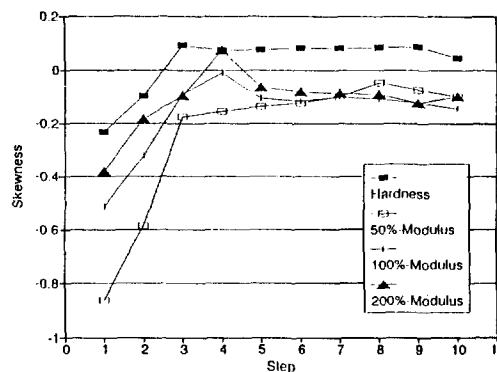


Fig. 3. Change of skewness by modeling step for the hardness and modulus.

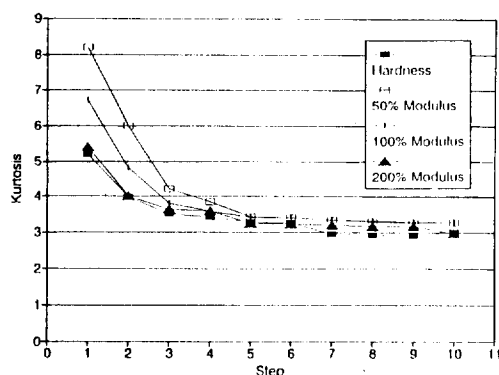


Fig. 4. Change of kurtosis by modeling step for the hardness and modulus.

Table 2. Statistics of Residual Analysis

	Skewness	Kurtosis
Hardness	0.061	2.670
Tensile Strength	0.157	2.837
50 %-Modulus	-0.110	2.799
100 %-Modulus	-0.111	2.710
200 %-Modulus	-0.089	2.772
300 %-Modulus	-0.107	2.850

수 있다.

최종적으로 구축된 회귀 모델의 설명력 (adjusted  $R^2$ )은 인장 물성 및 경도에 대해 0.89~0.94를 갖는다.

최종 모델의 잔차의 정규성 검토를 위해서 각 종속변수들에 대한 잔차의 통계적 추정치인 왜도와 첨도를 Table 2에 수록하였다. 종속변수들의 잔차가 정규성을 나타내므로써 회귀 모델의 적용 가능함을 알 수 있다.

회귀 모델식의 전 관측치에 대한 적합성을 보기 위해 예측치와 실험치간의 관계를 Fig. 5에 나타내었다. Fig. 5에서와 같이 예측치와 실험치간의 차이가 작은 것을 볼 수 있다. IBM A/S를 이용하여 분석한 경도 및 인장 특성에 대한 회귀식의 변수들 및 그 변수에 대한 회귀 계수는 Table 3에 수록하였다.

**다중 비선형 회귀 분석(Multi-Nonlinear Regression):** A/S의 경우 독립변수간의 교호항 및 제곱항을 적

용하지 못하여 모델 내에 존재할 수 있는 교호작용을 고려하지 못한 단점을 가지고 있었다. 이런 문제점을 해결하기 위해 workstation환경의 SAS 소프트웨어를 이용한 회귀 모델 및 물성 예측 시스템을 구축하였다. A/S에서 적용된 데이터 파일을 SAS/LANGUAGE를 이용하여 SAS 데이터 파일로 전환후 각 변수를 제곱항과 변수들간의 교호항을 추가하여 1769개의 독립변수로 확장시켰다.<sup>9</sup> 이렇게 하여 얻어진 독립변수를 분석하여 아래식에 적용하여 모델식을 도출하였다.<sup>7</sup>

$$Y = \beta_0 + \sum_{i=1}^{58} (\beta_i X_i) + \sum_{j=1}^{58} (\beta_j X_j^2) +$$

$$\sum_{k=1}^{57} (\beta_k X_k \sum_{m=k+1}^{58} X_m) + \varepsilon \quad (4)$$

$Y$  : 종속 변수

$\beta_0, \beta_i, \beta_j, \beta_k$  : Regression Coefficients

$X_i, X_j, X_k$  : 독립변수

$\varepsilon$  : error term

회귀 모델의 도출은 stepwise방법에 의해 변수 선택을 하였으며, 모델을 검증 후 추출된 변수들에 대하여 회귀 분석을 반복해서 수행하였다. 회귀 분석에서 얻어진 독립변수들간의 다공선성(multicollinearity) 유무를 판단하기 위해 회귀 진단에서 condition index값이 각 조건별로 50을 기준으로 하여 독립변수를 제거하므로써 다공선성이 없는 회귀 모델을 설정하였다.<sup>8</sup>

잔차분석을 통해 모델에 대한 이상치(outlier)의 선별 기준으로 표준화 잔차인 student  $t$ 를 이용하여 절대값이 2 이하인 관측치만 취하여 회귀 분석을 실시하였다.

결과적으로 얻은 회귀식의 조정된 다중 결정 계수, 즉 회귀 모델의 설명력의 경우 경도는 0.93, 인장 강도는 0.91, 50%-모듈러스는 0.92, 100%-모듈러스는 0.92, 200%-모듈러스는 0.94 그리고, 300%-모듈러스는 0.81의 결과를 얻었다. 경도 및

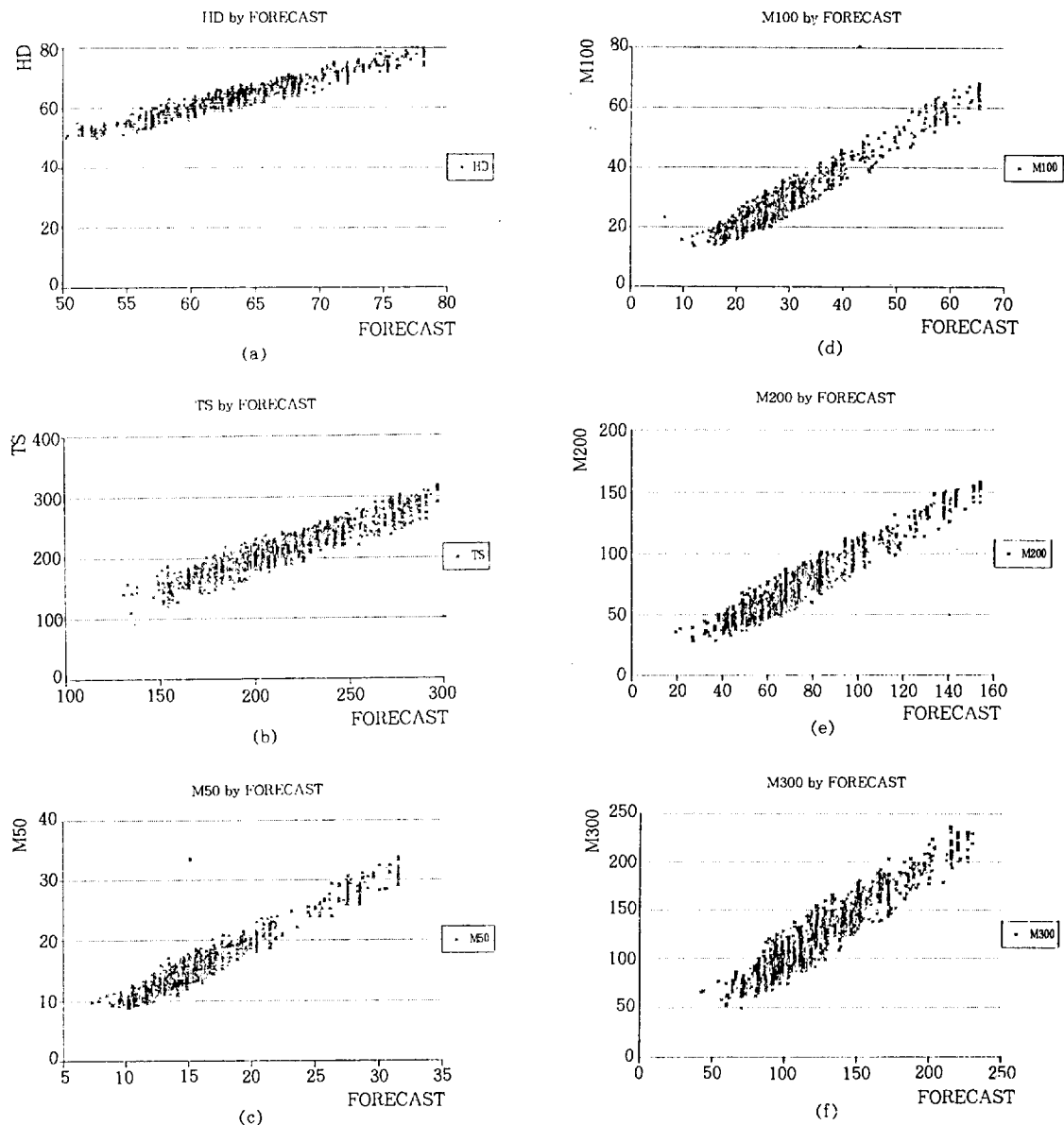


Fig. 5. Plot of forecasting physical properties : (a) hardness, (b) tensile strength, (c) 50%-modulus, (d) 100%-modulus, (e) 200%-modulus, and (f) 300%-modulus.

인장 특성에 대한 회귀식의 변수들 및 그 변수에 대한 회귀 계수는 Table 4~9에 나타내었다.

**회귀 모델의 검증 :** A/S를 이용한 모델링에서의 검증은 구축된 모델에 대해 예측치와 실험치를 비교, 분석하였으며, SAS를 이용한 모델링의 검증에

서는 실험실 시험을 통한 검증을 실시하였다. 이와 같은 실험실 시험을 통한 검증으로 모델식의 타당성이 인정되어야 완전한 회귀 모델식이 되며, 이런 모델식의 검증 절차를 근거로 하여 시뮬레이션 시스템을 구축하여 그 타당성을 갖도록 하였다. 검증

### 고무가류물의 경도 및 인장 특성에 대한 통계적 모델링

**Table 3.** Parameters and Coefficients of Regression Model Equations

Parameter	Hardness	Tensile Strength	50%-Modulus	100%-Modulus	200%-Modulus	300%-Modulus	
	Parameter coeff.						
INTER.	43.374	INTER.	-2.613	INTER.	-2.613	INTER.	-11.362
C2	0.020	C1	0.036	C4	-0.086	C2	-0.029
C3	0.032	C2	-0.152	C7	0.010	C3	-0.040
C11	-0.105	C4	-0.434	C8	0.010	C4	-0.194
C71	0.018	C6	-0.470	C9	0.026	C6	-0.052
C72	0.015	C7	-0.713	C11	-0.076	C9	0.023
C73	0.039	C8	-1.053	C16	-0.011	C11	-0.165
C4	-0.090	C9	-0.744	C18	-1.108	C16	-0.071
C16	-0.020	C11	-0.145	C19	1.804	C19	4.224
C18	-2.685	C16	-0.982	C20	1.863	C20	3.984
C19	2.671	C18	42.695	C21	1.877	C21	4.443
C20	2.349	C23	38.389	C24	-2.186	C24	-4.686
C21	2.263	C24	4.162	C26	2.107	C27	4.390
C26	1.243	C31	-0.930	C27	1.816	C31	3.276
C31	0.231	C35	2.355	C31	0.069	C32	0.089
C32	0.297	C38	3.229	C32	0.193	C33	0.331
C33	0.266	C39	3.710	C33	0.138	C34	0.218
C34	3.205	C41	-4.881	C34	1.594	C35	4.135
C35	-0.333	CB3	-0.208	C35	-0.439	C37	-0.964
C36	-0.256	CB4	-0.140	C37	-0.355	C38	-1.332
C37	-0.724	CB5	0.054	C38	0.344	C39	0.531
C39	-0.876	CB6	-0.839	C39	-0.585	C41	-1.055
C40	-3.854	CB8	-0.953	C41	-0.235	CB1	0.724
C41	-0.334	C43	-6.961	CB1	0.313	CB3	0.691
CB1	0.451	C45	-3.914	CB3	0.292	CB4	0.594
CB3	0.435	C47	-1.825	CB4	0.275	CB5	0.657
CB4	0.464	C48	-1.884	CB5	0.303	CB6	0.717
CB5	0.507	C50	-9.965	CB6	0.299	CB8	0.599
CB6	0.431	C54	-1.463	CB8	0.255	CB9	0.679
CB8	0.366	C55	-0.295	CB9	0.303	CB10	0.658
CB9	0.481			CB10	0.301	C43	-0.815
CB10	0.491			C43	0.375	C47	-0.819
C43	-0.457			C45	-0.279	C48	-0.747
C47	-0.487			C47	-0.377	C49	3.756
C48	-0.466			C48	-0.352	C50	3.688
C49	1.101			C49	1.649	C52	3.094
C50	0.935			C50	1.529	C55	-0.015
C52	1.148			C52	1.279		
C54	-0.037					C52	6.667

◆ CB1~CB10은 보강제의 특성인자로 적용하지 않고 보강제의 첨가량으로하여 분석하였음.

**Table 4.** Parameters and Coefficients of Regression Model Eqiuation (Hardness)

Parameter	Parameter coeff.	Parameter	Parameter coeff.
INTERCEPT	46.3319	C35C37	-2.38972
C9C9	0.0003	C33C42	0.05557
C8C16	-0.0760	C33C41	0.61637
C7C20	0.0260	C33C36	-0.27114
C6C6	0.0003	C33C35	-0.32583
C52C54	0.0544	C33	-2.58937
C50C56	0.0126	C32C53	0.78427
C5	0.2217	C32C48	-0.22510
C4C9	-0.0030	C32C32	0.08595
C4C42	-0.0005	C31C47	0.01412
C4C41	0.0527	C3	-0.17257
C4C32	-0.0181	C2C35	0.03192
C4C20	0.0307	C2C13	-0.00370
C48C53	0.3108	C29C45	8.09264
C48C52	1.6658	C29C30	0.10101
C47C58	-0.0097	C28C42	0.01460
C47C56	0.0059	C26C52	1.79306
C47C55	-0.0044	C26C48	-0.45938
C47C49	0.0758	C26C45	0.27041
C47C47	0.0033	C26C35	0.51937
C46C55	0.1958	C26	1.16917
C46C50	1.2606	C24C44	-5.43228
C45C56	-0.0211	C24C32	-0.51478
C45C54	-0.0790	C23C39	3.86459
C45C48	0.0653	C23C33	-1.07577
C45	12.7628	C1C6	-0.00352
C43C46	-0.2090	C1C47	-0.00126
C42C52	-0.1992	C1C4	-0.00132
C42C46	-0.0757	C1C14	0.00110
C42C42	-0.0036	C19C54	-0.05398
C42	0.5680	C19C49	1.30360
C41C57	0.0725	C19C33	0.56547
C41C54	0.0308	C19C29	0.32191
C41	-16.0209	C19	5.48872
C3C47	-0.0020	C17C33	-0.01931
C3C42	0.0025	C16C56	-0.00028
C3C33	0.02832	C16C47	-0.00231
C39C45	-0.41904	C16C31	0.00920
C38C52	2.15892	C16C26	0.03356
C38C48	0.83845	C15C56	0.00134
C36C56	0.00855	C14C55	-0.00130
C36C48	-0.07770	C14C48	-0.00707
C35C57	0.03720	C14C41	0.01190
C35C47	0.11712	C12C13	0.000829
C35C45	-0.43911	C11C41	-0.014850
C35C42	-0.07499	C10C41	-0.014719
C35C38	0.79874	C10C33	0.021341

**Table 5.** Parameters and Coefficients of Regression Model Equation (Tensile Strength)

Parameter	Parameter coeff.	Parameter	Parameter coeff.
INTERCEPT	1634.2170	C2C42	0.0245
C9C9	-0.0032	C2C41	0.0759
C8C8	-0.0106	C2C35	-0.2282
C8C47	-0.1860	C2C33	-0.0384
C8C32	0.4515	C29C39	-4.8368
C7C49	-0.2641	C26C49	-4.0665
C7C41	0.1899	C26C43	-0.9508
C6C41	0.0926	C25C41	6.2983
C57C57	-0.0011	C24C55	-0.2300
C55C55	0.0024	C24C50	4.7356
C54C54	0.0499	C24C42	0.3864
C54	-16.9901	C24C38	-15.4259
C53C58	-0.2355	C24C36	-10.9392
C4C8	-0.0395	C22C57	-3.3419
C49C55	-0.2501	C22C56	2.3864
C49C52	-21.7676	C20C57	-0.3655
C49C49	-2.6534	C20C42	0.5775
C48C53	4.1512	C20C41	5.1183
C48C48	0.0891	C20C37	48.9912
C45C49	-5.1215	C1C56	-0.0036
C42C54	0.0073	C1C55	-0.0033
C42C42	-0.0175	C1C50	-0.1810
C41C49	2.7982	C1C49	-0.1428
C41	-11.1459	C1C4	-0.0091
C3C41	0.4990	C1C33	0.0197
C3C33	0.1158	C1C3	0.0112
C3C24	-0.8175	C1C1	0.0032
C3C21	1.1793	C19C50	-7.0798
C39C50	9.4425	C19C49	-6.0570
C38C57	0.2704	C19C42	0.3787
C37C47	-1.0809	C19C33	5.1968
C36C56	0.1256	C19C19	-13.2985
C36C48	-0.7072	C19	-12.2778
C36C45	-2.0797	C17C58	0.0102
C36C39	1.5571	C17C48	-0.3623
C35C47	0.4899	C16C50	-0.2188
C35C44	-26.4828	C16C42	0.0183
C35C39	-2.5118	C16C38	0.6749
C33C49	6.0859	C16C33	-0.1331
C33C47	-0.4040	C16C31	0.06414
C32C56	0.0520	C16C19	-0.25173
C32C48	-2.4143	C16	-1.02827
C32C46	-1.4016	C14C58	-0.01427
C32C38	-9.3316	C14C42	0.01237
C32C36	-1.7938	C14C41	0.08244
C31C49	-0.9562	C11C41	0.18291
C31C48	0.2366	C10C58	-0.01824
C31C39	-0.6046	C10C41	0.10410
C2C57	-0.0050	C10C33	0.24069
C2C49	-0.2345	C1	0.46402
C2C47	-0.0212		

**Table 6.** Parameters and Coefficients of Regression Model Equation (50 %-Modulus)

Parameter	Parameter coeff.	Parameter	Parameter coeff.
INTERCEPT	13.2070	C2C58	0.00223
C9C9	0.0003	C2C57	0.00226
C6C6	0.0011	C2C56	-0.00268
C6C56	-0.0008	C2C54	-0.00150
C5C32	0.1723	C2C49	0.01438
C54C57	0.0002	C2C48	-0.01067
C50C56	0.0213	C2C33	-0.00783
C50C50	-0.3842	C2C20	0.02193
C50	2.0176	C26C52	1.09424
C4C35	0.0199	C26C44	-2.58330
C4C33	-0.0189	C26C41	0.60853
C47C56	-0.0019	C26C35	0.81757
C47C55	-0.0036	C25C36	-4.22405
C46C47	-0.2672	C24C26	-0.55740
C45C54	-0.0033	C21C49	2.22636
C41C50	1.3094	C21C32	-1.05386
C3C41	-0.2724	C1C58	-0.00034
C3C38	0.1679	C1C42	0.00027
C39C58	0.01173	C1C38	0.00811
C39C54	-0.01083	C1C32	0.00516
C38C49	-2.01113	C1C26	0.00981
C38C41	0.92162	C1C11	0.00237
C37C50	-1.50308	C19C52	-1.89429
C36C55	-0.01007	C19C49	1.10702
C36C41	0.12549	C19C46	2.08880
C35C54	0.01353	C19C41	-0.40058
C35C47	0.09782	C16C50	-0.04064
C35C42	-0.07797	C16C47	-0.00248
C33C54	-0.01879	C16C26	0.04253
C33C49	0.25911	C15C55	-0.00970
C33C42	0.05913	C15C48	0.25995
C32C53	0.48638	C14C58	-0.00047
C32C48	-0.19471	C12C24	0.18793
C31C52	0.24728	C12C20	0.01303
C31C45	-0.05049	C11C41	-0.01927
C31C41	-0.08826	C10C42	-0.001810
C31C36	0.09078	C10C33	0.023293

**Table 7.** Parameters and Coefficients of Regression Model Equation (100 %-Modulus)

Parameter	Parameter coeff.	Parameter	Parameter coeff.
INTERCEP	21.2755	C33C37	-0.6880
C6C9	-0.0040	C32C52	-7.2552
C6C19	0.0700	C32C48	-0.4829
C5C32	0.2918	C31C35	-0.0990
C56C57	0.0021	C30C33	0.6411
C56C56	-0.0021	C2C50	0.0882
C52C52	4.3594	C2C49	0.0406
C50C56	0.0215	C2C42	0.0013
C4C56	0.0008	C2C33	-0.0405
C4C33	-0.0457	C26C56	0.0402
C48C52	2.3448	C26C44	-5.4343
C47C57	-0.0037	C26C35	0.8803
C47C55	-0.0085	C24C38	-3.7721
C45C54	-0.0087	C1C58	-0.0016
C42C50	0.0797	C1C56	0.0015
C42C49	0.0521	C1C54	-0.0007
C41C50	2.2860	C1C52	0.0511
C3C41	-0.3327	C1C42	0.0019
C3C38	0.3046	C1C38	0.0617
C3C35	0.4781	C1C19	0.0226
C39C47	-0.0895	C19C49	2.1947
C38C52	10.0052	C19C46	1.3111
C38C49	-4.1921	C19C41	-0.8319
C35C58	-0.0353	C19C25	-17.5258
C35C47	0.2064	C16C56	0.00144
C35C42	-0.1997	C16C54	-0.00151
C35	10.5109	C14	-0.10939
C33C54	-0.0158	C12C12	0.00043
C33C50	-0.6134	C10C16	-0.00253
C33C42	0.0946		

**Table 8.** Parameters and Coefficients of Regression Model Equation (200 %-Modulus)

Parameter	Parameter coeff.	Parameter	Parameter coeff.
INTERCEPT	98.4239	C2C57	0.01170
C8C55	-0.0020	C2C56	-0.01166
C8C39	0.1066	C2C55	0.00639
C6C6	0.0048	C2C49	0.16157
C6C57	-0.0045	C2C48	-0.18784
C6C19	0.1920	C2C47	-0.00710
C5C5	0.0087	C2C45	0.15207
C56C56	-0.0013	C2C42	0.00953
C50C54	0.0687	C2C33	-0.05374
C4C57	0.0049	C2C29	1.29064
C4C47	0.0135	C2C2	0.00222
C4C42	-0.0133	C26C57	0.17589
C4C4	0.0032	C26C42	-0.19739
C4C33	-0.0979	C26C41	-3.94483
C4C16	0.0069	C25C41	1.89157
C49C49	-0.9702	C24C43	-2.34847
C47C55	-0.0289	C24C38	-8.23739
C47C50	-0.3279	C24C35	2.68720
C46C48	-0.1705	C23C33	1.48701
C45C54	-0.2983	C21C49	4.24415
C45	41.7021	C20C37	8.49305
C44C44	9.6323	C2	-2.47619
C42C47	-0.0166	C1C52	0.0699
C41C56	0.0532	C1C42	0.0060
C41C50	2.5185	C1C38	0.1341
C41C47	0.1557	C1C32	0.0336
C41	-7.0059	C19C52	-21.0868
C3C48	-0.0346	C19C50	2.5855
C3C35	1.5619	C19C49	4.3440
C3C26	0.3099	C19C43	5.8931
C3C19	0.3862	C19C38	-14.8905
C39C52	14.9747	C19C36	-3.0303
C39C49	2.9960	C19C33	2.9345
C39C47	-0.2155	C19C25	-52.8630
C39C41	-1.5301	C19	-8.4266
C38C49	-14.2694	C17C55	-0.0048
C37C39	-7.89969	C16C58	0.0097
C35C56	-0.05099	C16C57	-0.0108
C35C52	5.47302	C16C55	0.0037
C35C47	0.39602	C16C44	2.4577
C35C42	-0.12438	C16C42	-0.00701
C35C38	3.95790	C16C35	0.09196
C33C54	-0.10665	C16C19	0.12901
C33C49	2.36367	C15C56	0.02416
C33C44	-8.17864	C14	-0.41716
C33C42	0.30229	C13C56	-0.00081
C32C48	-1.18020	C10C30	0.06708
C32C39	-0.96949	C10C16	-0.00799
C31C41	-0.15265	C1	-0.48240
C2C58	0.01308		

**Table 9.** Parameters and Coefficients of Regression Model Equation (300 %-Modulus)

Parameter	Parameter coeff.	Parameter	Parameter coeff.
INTERCEPT	75.725	C2C56	-0.0086
C54	-0.490	C2C55	0.0134
C50C58	0.170	C2C48	-0.1464
C50C57	0.143	C2C42	0.0085
C50C55	-0.212	C2C33	-0.1848
C50C54	-0.666	C29C45	80.2417
C50	119.644	C29C38	-1.4303
C4C54	0.008	C26C43	-9.2225
C4C45	-0.216	C26C41	-3.5594
C4C42	-0.021	C24C56	-0.3217
C4C49	-3.615	C24C33	4.5661
C45C48	-0.195	C24C32	-5.8913
C43C47	3.128	C24C26	14.6869
C42C49	0.513	C23C29	17.9951
C42C47	-0.015	C1C38	0.1023
C42C42	-0.021	C1C33	-0.0348
C42	2.7819	C1C32	0.0426
C41C43	-4.4676	C1C3	0.0122
C3C44	-0.9094	C19C50	-17.6535
C3C41	0.2311	C19C46	-6.3995
C3C26	-2.1818	C19C45	9.4631
C38C49	-21.0634	C19C33	5.97393
C35C56	-0.1381	C19C19	-8.94257
C33C50	-5.3944	C17C48	-0.03743
C33C49	2.6336	C16C57	-0.00464
C33C42	0.1315	C16C38	0.59869
C32C48	-1.8896	C14C33	-0.41346
C32C41	-2.6115	C14C14	0.00952
C2C57	0.0077	C13C20	-0.14734

실험은 임의의 11개 배합 사양을 선정하여 배합, 가류 및 인장 시험과 경도 시험 결과치와 본 연구에서 구축된 회귀모델식에 의한 예측치를 Table 10에 비교하였으며, 그들간의 차를 함께 비교하였다. Table에서 보는 바와 같이 50%-모듈러스는 일부 샘플에서 그 정확도가 떨어짐을 볼 수 있었으나 그 외의 물성에서는 편차가 크게 나타나지 않음을 볼 수 있다. 특히, 경도의 경우에는 회귀 모델의 정확성이 높음을 볼 수 있다. 인장 강도, 100%, 200%, 300%-모듈러스 역시 큰 오차를 보이지 않았다. 이와 같은 분석 결과를 토대로 모델식의 타당성을 볼 수 있었으며 이 회귀모델식으로 예측 시스템을 SAS/AF의 FRAME과 SCL을 이용하여 시스템을 구축하였다.<sup>10</sup>

**예측 시스템(Simulation System) 구축.** 도출해 낸 인장 물성 회귀 모델식을 이용한 물성 예측

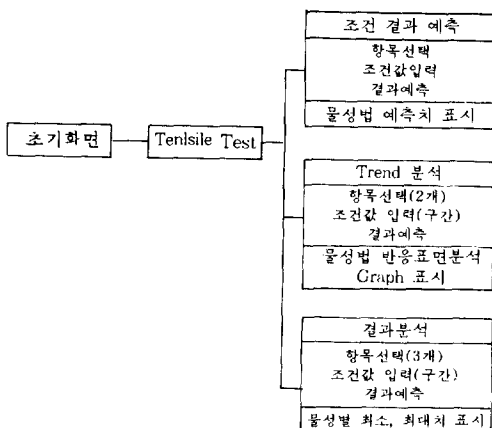
시스템의 개발은 SAS 소프트웨어의 BASE SAS, SAS/STAT, SAS/GRAFH, SAS/AF를 이용하여 구축하였다. 예측 시스템은 첫째로 원하는 고무 배합물에 대한 원재료 투입량, 보강제의 특성 인자, 가류조건(독립변수)을 선정하여 그 조건값을 입력하면 고무배합물이 갖는 경도, 인장 강도, 50%, 100%, 200%, 300%-모듈러스(종속변수)의 예측 결과를 화면에 나타나게 하는 ‘조건 결과 예측’이 있다. 두번째로 고무 배합물에서 변량하고 하는 2가지 재료에 대한 물성변화를 3차원 그래프와 반응 표면 분석의 결과를 통해 화면에 나타나게 하는 ‘트랜드 분석’이 있다. 그리고, 마지막으로 3 가지 원재료에 대한 변량 범위에서 갖는 최대 최소의 물성을 화면에 수치화 하여 나타내는 ‘결과 분석’이 있으며, 이상과 같은 예측 시스템은 3가지 화면 체계로 구성되어져 있다. 각 화면 운영의 체

**Table 10.** Experimental and Forecasting Results of Regression Model Equations

No	H'd	F_H'd	T.S.	F_T.S.	50 %-Mod.	F_50%-Mod.
01	64	67	196.9	197.7	12.7	13.9
02	65	67	205.5	199.1	12.3	13.8
03	72	69	221.9	204.7	6.8	14.4
04	65	65	217.1	208.0	4.9	11.5
05	66	66	222.2	209.0	5.3	12.6
06	65	67	206.6	209.3	5	12.2
07	60	62	168.0	183.0	13.6	15.0
08	68	68.9	221.4	202.4	13.5	16.9
09	69	69	214.6	192.0	14	14.1
10	68	68	217.1	197.5	13.3	14.1
11	67	66	300.8	269.7	19.2	17.3

No	100 %-Mod.	F_100 %-Mod.	200 %-Mod.	F_200 %-Mod.	300 %-Mod.	F_300 %-Mod.
01	20.7	21.30	51.6	55.3	96.70	104.6
02	20.3	21.33	51.8	55.3	98.10	104.6
03	26.9	22.26	70.0	74.9	124.8	130.7
04	20.4	17.80	56.5	56.6	109.1	94.30
05	20.4	20.30	54.5	46.5	103.1	106.2
06	21.4	20.70	58.7	53.9	111.5	109.7
07	25.5	26.00	65.2	59.0	121.2	107.0
08	23.3	27.40	65.3	71.1	124.0	125.3
09	22.2	19.23	56.0	54.4	107.1	98.60
10	21.4	21.50	54.9	52.7	106.2	94.40
11	35.8	33.70	90.6	80.1	160.0	154.4

\* H'd : Experimental results (Hardness), F\_H'd : Forecasting results (Hardness).



**Fig. 6.** Flow chart of screen in the simulation system.

계도를 Fig. 6에 나타내었다. 구축된 시스템은 사용자의 효율성을 증대하기 위해 GUI방식에 의해 시스템의 운용을 극대화하였다.

## 결 론

이상과 같이 인장 물성 실험과 그 결과를 이용한 다중회귀모델링과 물성 시뮬레이션, 그리고 시뮬레이션 시스템을 구축해 봄으로써 아래와 같은 결론을 얻을 수 있었다.

1) A/S 소프트웨어를 이용한 다중 선형 회귀 분석(Stepwise method)으로 도출해 낸 회귀 모델의 설명력은 89~94 %의 높은 값을 얻었으나, 각 조건별 선형 관계만 분석하였기 때문에 다중 결정 계수( $R^2$ )값이 높더라도 교호항 또는 제곱항을 회귀 모델에 적용하지 못한 단점이 있다.

2) SAS 소프트웨어를 이용한 다중비선형회귀 분석 결과 회귀 모델의 설명력이 경도, 인장 강도, 50%-, 100%-, 200%-모듈러스는 91%~93%, 300%-모듈러스는 81%를 보여주었다. 회귀 모델

의 다중 결정 계수가 충분히 높지 않더라도 회귀 모델에 교호 또는 제곱항을 추가하여 분석할 수 있다는 장점이 있다.

3) 물성 시뮬레이션 후 검증을 위해 임의의 배합 사양에 대한 물성실험결과와 시스템에 의한 결과를 비교한 결과 50%-모듈러스를 제외하고는 좋은 결과를 얻을 수 있었다.

4) SAS 소프트웨어를 이용하여 얻은 회귀 모델을 이용하여 시뮬레이션 시스템을 개발하여 조건 결과의 예측, 특성치의 트랜드 분석 및 결과 분석을 수치화와 그래프화로 시각화함으로서 고무 재료의 배합 사양 변화에 따른 물성을 예측할 수 있는 시스템을 구축하였다.

## 참 고 문 헌

1. J. H. Lane., C. A. McCall, and P. F. Gunberg, *Rubber Chem. Technol.*, **43**, 1070 (1970).
2. P. Kainradl and G. Kaufmann, *Rubber Chem. Technol.*, **45**, 1 (1972).
3. L. R. Evans and W. H. Waddell, Presented at the 143rd Meeting of the Rubber Division, ACS (May 1993).
4. T. A. Okel and W. H. Waddell, *Rubber Chem. Technol.*, **67**, 217 (1972).
5. 한국 고무 학회편, “기초 고무 기술”, p. 332 (1983).
6. 高分子學會, 高分子辭典編集委員會, “新版高分子辭典”, 朝倉書店, 1988.
7. 이영준, “SPC/PC ++ 를 이용한 多變量分析”, 圖書出版 石井, 1993.
8. 김충현, “SAS라는 통계상자”, 데이터리서치, 1994.
9. SAS Institute Inc., SAS/STAT User's Guide Release 6.09, Cary, NC, 1990.
10. SAS Institute Inc., SAS/AF Software Release 6.09, Cary, NC, 1990.